

## ПРОЯВЛЕНИЕ СТРУКТУРЫ ВОЛНОВЫХ ФУНКЦИЙ ЯДРА $^{16}\text{O}(\text{g. s.}; 3^-, 6.13 \text{ МэВ})$ В РЕАКЦИЯХ $^{16}\text{O}(\alpha, \alpha)^{16}\text{O}$ И $^{15}\text{N}(\alpha, t)^{16}\text{O}$

© 2023 г. Л. И. Галанина<sup>1)\*</sup>, Н. С. Зеленская<sup>1)</sup>,  
В. М. Лебедев<sup>1)</sup>, Н. В. Орлова<sup>1)</sup>, А. В. Спасский<sup>1)</sup>

Поступила в редакцию 15.09.2022 г.; после доработки 15.09.2022 г.; принята к публикации 15.09.2022 г.

Структура волновых функций ядра  $^{16}\text{O}(\text{g. s.}, 3^-)$  исследована с использованием экспериментальных угловых распределений дифференциальных сечений реакций  $^{16}\text{O}(\alpha, \alpha)^{16}\text{O}(\text{g. s.}, 3^-)$  и  $^{15}\text{N}(\alpha, t)^{16}\text{O}(\text{g. s.}, 3^-)$  при  $E_\alpha = 30.3 \text{ МэВ}$ . Анализ проведен в рамках метода связанных каналов с учетом прямых механизмов (срыва протона и передачи тяжелого кластера  $^{12}\text{C}$ ) и в модели составного ядра. Каждый из рассмотренных механизмов обусловлен конкретной конфигурацией волновой функции ядра  $^{16}\text{O}$  и вносит существенный вклад в экспериментальное сечение.

DOI: 10.31857/S0044002723010208, EDN: RBQFWS

### 1. ВВЕДЕНИЕ

Структура дважды магического ядра  $^{16}\text{O}$  активно изучается экспериментально и теоретически. Спектр возбужденных состояний ядра не имеет однозначного описания ни в одной из существующих моделей. К настоящему времени установлено, что волновые функции (ВФ) основного состояния  $^{16}\text{O}$  и его возбужденных  $0^+$ -уровней имеют двойственную природу: оболочечные ВФ в потенциале среднего поля, включающего остаточные парные взаимодействия, и  $\alpha$ -кластерные, которые могут иметь конфигурации  $4\alpha$  и  $\alpha + ^{12}\text{C}$ .

В [1] при изучении монополюсных возбуждений первых шести  $0^+$ -уровней показано, что до энергии возбуждения  $E^* \sim 16 \text{ МэВ}$  экспериментальная силовая функция монополюсного возбуждения в  $^{16}\text{O}(\alpha, \alpha)$ -рассеянии удовлетворительно описывается в  $4\alpha$ -кластерной модели при учете оболочечных и  $\alpha + ^{12}\text{C}$  конфигураций. При энергиях в интервале  $16 < E^* < 40 \text{ МэВ}$  три первых структурных пика соответствуют оболочечным возбуждениям. Для  $\alpha + ^{12}\text{C}$  конфигураций в [1] рассчитаны спектроскопические факторы, характеризующие распад  $^{16}\text{O}(\text{g. s.}) = \alpha + ^{12}\text{C}$ .

Для состояния ( $3^-, 6.13 \text{ МэВ}$ ) подобных исследований нет. Классификация этого уровня как

члена полосы, аналогичной ротационной, предложена в [2]. Структура ядра  $^{16}\text{O}$  рассматривается в двух конфигурациях:  $T_d$ -инвариантного  $4\alpha$ -тетраэдра и кластерной  $\alpha + ^{12}\text{C}$ . Состояния  $0_{\text{g. s.}}^+$ ,  $3^-$  (6.13 МэВ) и  $4^+$  (10.4 МэВ) интерпретируются как уровни одной полосы, полученной деформацией основного состояния  $4\alpha$ -тетраэдра (что объясняет наличие интенсивного  $E3$ -перехода). В  $\alpha + ^{12}\text{C}$  конфигурации выделены уровни, объединенные в полосы с  $K = 0^+$  и  $K = 0^-$ . Существование  $\alpha + ^{12}\text{C}$  конфигураций в различных состояниях ядра  $^{16}\text{O}$  подтверждено в [3] в рамках современной нуклон-кластерной модели оболочек.

Согласно [1, 2] ВФ  $0_{\text{g. s.}}^+$  и  $3^-$  (6.13 МэВ) уровней ядра  $^{16}\text{O}$  включают в себя, по крайней мере, три конфигурации: оболочечные в среднем поле ядра, деформационные полосы  $4\alpha$ -тетраэдра и кластерные конфигурации  $\alpha + ^{12}\text{C}$ . В различных механизмах протекания реакций  $^{16}\text{O}(\alpha, \alpha)^{16}\text{O}(\text{g. s.}, 3^-)$  и  $^{15}\text{N}(\alpha, t)^{16}\text{O}(\text{g. s.}, 3^-)$  могут доминировать конкретные конфигурации ВФ конечного ядра. Оболочечные возбуждения, подтвержденные для рассматриваемой энергии в [1], обосновывают использование механизмов срыва протона для  $(\alpha, t)$ -реакции и составного ядра (СЯ) для обеих реакций. Механизмом, чувствительным к наличию  $\alpha + ^{12}\text{C}$  конфигурации, является передача тяжелого кластера  $^{12}\text{C}$ . Наличие в ядре  $^{16}\text{O}$  интенсивного  $E3$ -перехода между основным и  $3^-$ -состояниями обосновывает использование формализма метода связи каналов (МСК) в предположении механизма

<sup>1)</sup>Московский государственный университет имени М.В. Ломоносова, Научно-исследовательский институт ядерной физики имени Д.В. Скобельцына, Москва, Россия.

\*E-mail: galan\_lidiya@mail.ru

коллективного возбуждения (МКВ) состояния  $3^-$  ядра  $^{16}\text{O}$ .

В настоящей работе проведен анализ всех указанных механизмов для угловых зависимостей экспериментальных дифференциальных сечений реакций  $^{16}\text{O}(\alpha, \alpha)^{16}\text{O}(\text{g. s.}, 3^-)$  и  $^{15}\text{N}(\alpha, t)^{16}\text{O}(\text{g. s.}, 3^-)$ , полученных нами ранее [4, 5] при  $E_\alpha = 30.3$  МэВ. Вклады прямых механизмов срыва протона и передачи кластера  $^{12}\text{C}$  (рис. 1) с учетом связи каналов ядра  $^{16}\text{O}$  рассчитаны с использованием кода FRESKO [6] (модель ССВА). Вклад механизма СЯ определен в коде TALYS [7].

В следующем разделе изложен аппарат расчета спектроскопических амплитуд (СА), необходимых для расчета сечений прямых механизмов. В разд. 3 обсуждается выбор оптимальных параметров для расчета сечений реакций. В разд. 4 проведено сопоставление экспериментальных дифференциальных сечений обеих реакций с рассчитанными. В заключении проведено краткое суммирование полученных результатов.

## 2. СПЕКТРОСКОПИЧЕСКИЕ АМПЛИТУДЫ ДЛЯ ПРЯМЫХ МЕХАНИЗМОВ

Мы рассчитали СА в каждой вершине полюсных диаграмм рис. 1 с использованием оболочечных ВФ ядер  $^{15}\text{N}$  и  $^{16}\text{O}$ .

Ядро  $^{15}\text{N}$  в основном состоянии  $1/2^-$  определяется дырочной протонной конфигурацией  $|1p^{-1}\rangle$  в замкнутой  $1p$ -оболочке, так что его ВФ в  $LS$ -связи имеет одну компоненту (оболочку  $|1s^4\rangle$  опускаем)

$$\Psi_{1/2^-, T=1/2} = |(1p)^{11}[443]: ^{22}P\rangle. \quad (1a)$$

ВФ основного состояния  $0^+$  дважды магического ядра  $^{16}\text{O}$  в  $LS$ -связи имеет вид

$$\Psi_{0^+, T=0} = |p^{12}[444]^{11}S\rangle. \quad (1б)$$

ВФ состояния  $3^-$  в  $^{16}\text{O}$  нами определена как частично-дырочная протонная конфигурация  $|1p^{-1}1d\rangle$

$$\Psi_{3^-, T=0} = |p^{11}[443]^{22}P, ^{22}d: ^{11}F\rangle. \quad (1в)$$

СА  $_{\Lambda I}^{B \rightarrow x+C}$  отделения кластера  $x$  со спином  $J_x$  от ядра  $B$  с последующей схемой связи моментов  $\langle \Lambda J_x | I \rangle \langle J_C I | J_B \rangle$  определяется выражением [8]

$$\begin{aligned} \text{СА}_{\Lambda I}^{B \rightarrow x+C} &= \sum_{L_i} \tilde{\Theta}_{\Lambda L_B L_C L_i L_x S_B S_C S_x}^{B \rightarrow x+C} \times \\ &\times \sqrt{(2J_C + 1)(2I + 1)(2L_B + 1)(2S_B + 1)} \times \end{aligned} \quad (2)$$

$$\begin{aligned} &\times U(\Lambda L_x I S_x : L_i J_x) \begin{Bmatrix} L_C & S_C & J_C \\ L_i & J_x & I \\ L_B & S_B & J_B \end{Bmatrix} \times \\ &\times \langle T_C \tau_C t_x \tau_x | T_B \tau_B \rangle, \end{aligned}$$

где  $L_k, S_k, J_k$  ( $k = B, C, x$ ) — орбитальные моменты, спины и полные моменты ядер,  $\langle T_C \tau_C t_x \tau_x | T_B \tau_B \rangle$  — коэффициент векторного сложения изоспиновых переменных,  $\Lambda, I$  — орбитальный и полный момент, уносимый кластером  $x$ .

В (2)  $\tilde{\Theta}_{\Lambda L_B L_C L_i L_x S_B S_C S_x}^{B \rightarrow x+C}$  — СА в  $LS$ -связи, для  $x \leq \alpha$  ( $L_x = 0, J_x = s_x$ ) имеющие вид

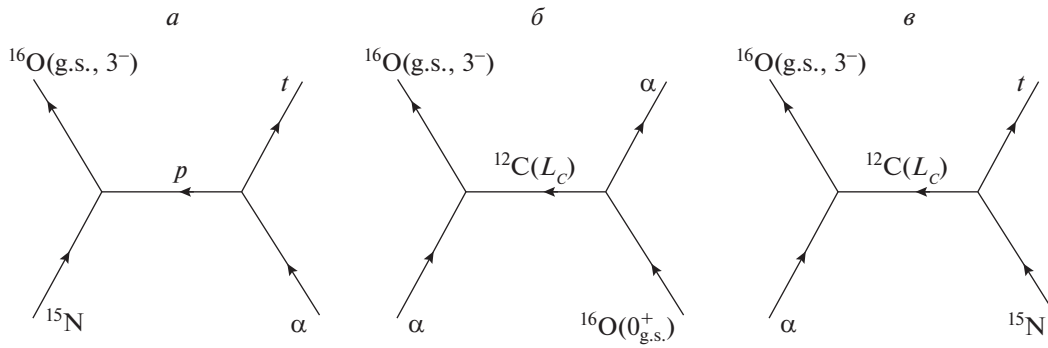
$$\begin{aligned} \tilde{\Theta}_{\Lambda L_B L_C L_i L_x S_B S_C S_x}^{B \rightarrow x+C} &= \left( \frac{A_B}{A_C} \right)^{\frac{N_x}{2}} \begin{pmatrix} n_B \\ n_C \end{pmatrix}^{1/2} \times \\ &\times \sum_{L', L''} a_{L_B S_B} a_{L_C S_C} [f_C] \times \\ &\times \text{GK}_{L_C L' L''}^{x \Lambda} K_x(L', L'' : \Lambda). \end{aligned} \quad (3)$$

В (3)  $N_x$  — главное квантовое число отделяемого кластера,  $A_B, A_C$  — массы ядер  $B$  и  $C$ ,  $n_B, n_C$  — число нуклонов ядер  $B$  и  $C$  во внешних оболочках,  $\text{GK}_{L_C L' L''}^{x \Lambda}$  — обобщенный генеалогический коэффициент (ГК) [9] отделения  $x$  нуклонов из ядра  $B$  в смешанной ( $L'' \neq 0$ ) или чистой ( $L'' = 0, L' = \Lambda$ ) оболочечных конфигурациях,  $K_x(L', L'' : \Lambda)$  — обобщенные коэффициенты Тальми (КТ) [9], выделяющие в ВФ этих нуклонов их внутреннюю ВФ,  $a_{L_B S_B} [f_B], a_{L_C S_C} [f_C]$  — коэффициенты разложения ВФ ядер  $B$  и  $C$  по базису  $LS$ -связи [10].

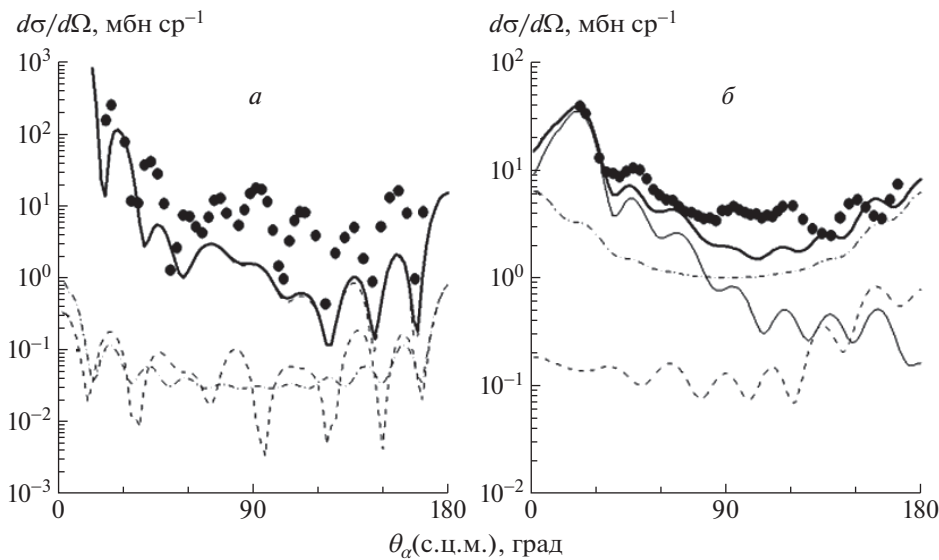
Найдем выражения для ГК и КТ для всех вершин распада на рис. 1. Отметим, что в распаде  $^{16}\text{O}(\text{g. s.}, 3^-) \rightarrow \alpha + ^{12}\text{C}(L_C) S_C = 0, J_C = L_C = 0, 2, 4$ . Для вершин распада  $\alpha$ -частицы и ядер  $^{16}\text{O}$  и  $^{15}\text{N}$  в основных состояниях  $L'' = 0, L' = \Lambda_i$ . Для вершины  $\alpha \rightarrow p + t$   $L' = 0$ , так что СА  $\alpha \rightarrow t + p = \sqrt{2}$ .

Для чистых оболочечных конфигураций ВФ в вершинах  $^{16}\text{O}(\text{g. s.}) \rightarrow \alpha + ^{12}\text{C}(L_C)$  и  $^{15}\text{N}(\text{g. s.}) \rightarrow t + ^{12}\text{C}(L_C)$  (рис. 1б, в) ГК определяются отделением трех и четырех нуклонов для ядер  $1p$ -оболочки. Соответствующие КТ [9] равны

$$\begin{aligned} K_t\{(1p)^3[3]\Lambda\} &= \frac{\sqrt{2}}{3}, \quad N_t = 3, \\ K_\alpha\{(1p)^4[4]\Lambda\} &= \frac{1}{4} \sqrt{\frac{3}{2}}, \quad N_\alpha = 4. \end{aligned} \quad (4)$$



**Рис. 1.** Полюсные диаграммы, иллюстрирующие прямые механизмы срыва протона (а) и передачи кластера  $^{12}\text{C}$  (б, в) в реакциях  $^{16}\text{O}(\alpha, \alpha)^{16}\text{O}(\text{g. s.}, 3^-)$  и  $^{15}\text{N}(\alpha, t)^{16}\text{O}(\text{g. s.}, 3^-)$ .



**Рис. 2.** Дифференциальное сечение реакции  $^{16}\text{O}(\alpha, \alpha)^{16}\text{O}(\text{g. s.}, 3^-)$ , рассчитанное в настоящей работе, в сравнении с экспериментальным [4]. Кривыми показаны сечения отдельных механизмов: сплошная тонкая — МСК, штриховая — передача кластера  $^{12}\text{C}$ , штрихпунктирная — механизм СЯ. Полное сечение — сплошная жирная кривая.

Для смешанных оболочечных конфигураций ВФ в вершине отделения протона  $^{16}\text{O}(3^-) \rightarrow ^{15}\text{N} + p$  (рис. 1а)

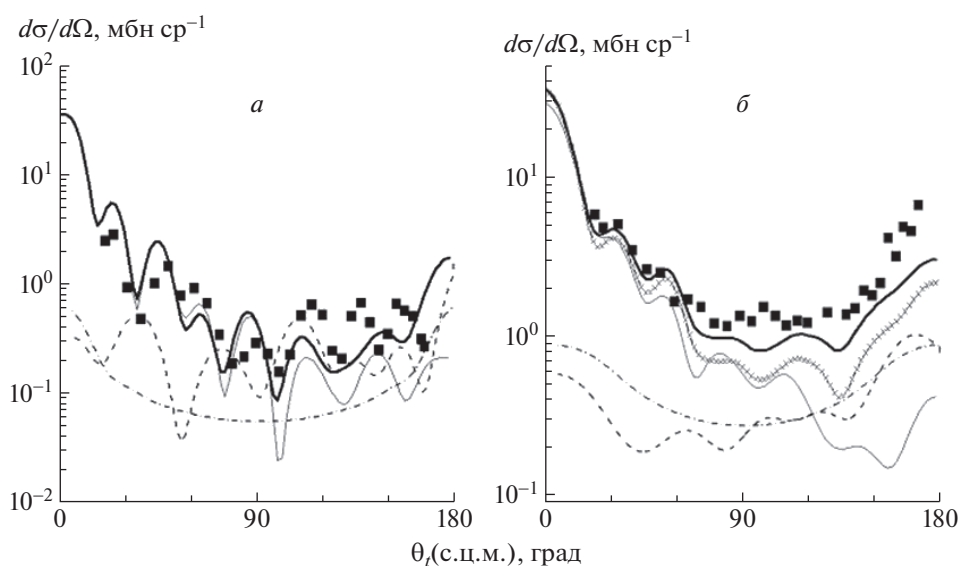
$$\begin{aligned} \text{GK}_{L_C L' L''=0}^{p\Lambda} &= \frac{1}{\sqrt{12}} \times \quad (5) \\ \times \langle \{p^{11}[443]^{22}P, ^{22}d\} : ^{11}F | p^{11}[443]^{22}P; ^{22}d \rangle &= \\ &= \frac{1}{\sqrt{12}} \delta_{\Lambda 2}. \end{aligned}$$

Для вершины распада  $^{16}\text{O}(3^-) \rightarrow \alpha + ^{12}\text{C}(L_C)$  (рис. 1б, в)

$$\begin{aligned} \text{GK}_{L_C L' L''=2}^{\alpha\Lambda} &= - \left( \begin{matrix} 11 \\ 3 \end{matrix} \right)^{1/2} \left( \begin{matrix} 12 \\ 4 \end{matrix} \right)^{-1/2} \times \quad (6) \\ \times \langle \{ (1p)^{11}[443]^{22}P, ^{22}d \} : ^{11}F | (1p)^8[44]^{11}L_C; \end{aligned}$$

$$\begin{aligned} \{ (1p)^3[3]^{22}L', ^{22}d \}^{11}\Lambda \rangle &= - \left( \begin{matrix} 11 \\ 3 \end{matrix} \right)^{1/2} \left( \begin{matrix} 12 \\ 4 \end{matrix} \right)^{-1/2} \times \\ &\times \sqrt{15(2L_C + 1)(2\Lambda + 1)} \left\{ \begin{matrix} L_C & 0 & L_C \\ L' & 2 & \Lambda \\ 1 & 2 & 3 \end{matrix} \right\} \times \\ &\times \langle (1p)^{11}[443]^{22}P | (1p)^8[44]^{11}L_C; (1p)^3[3]^{22}L' \rangle; \\ K_\alpha \{ (1p)^3[3]L', (1d) : \Lambda_1 \} &= \quad (7) \\ &= 2K_t \{ (1p)^3[3]L' \} \langle 3L'22 | 3, 1 | 5\Lambda_1 00 : \Lambda_1 \rangle, \end{aligned}$$

где  $K_t \{ (1p)^3[3]L' \}$  определен в (4), а  $\langle 3L'22 | 3, 1 | 5\Lambda_1 00 : \Lambda_1 \rangle$  — коэффициент Тальми для частиц с разными массами [9].



**Рис. 3.** То же, что и на рис. 2, для реакции  $^{15}\text{N}(\alpha, t)^{16}\text{O}(\text{g. s.}, 3^-)$ . Экспериментальные данные взяты из [5]. Кривые — сечения отдельных механизмов: сплошная тонкая — срыв протона, штриховая — передача кластера  $^{12}\text{C}$ , штрихпунктирная — механизм СЯ, кривая с крестами — сечение прямых механизмов при когерентном суммировании их амплитуд. Полное сечение — сплошная жирная кривая.

Используя соотношения (2)–(7), мы рассчитали СА для всех разрешенных правилами отбора значений  $L_C, L_i, I_i$ . Полученные значения СА приведены в табл. 1 (столбец  $CA_{об}$ ).

### 3. РАСЧЕТ ДИФФЕРЕНЦИАЛЬНЫХ СЕЧЕНИЙ РЕАКЦИЙ $^{16}\text{O}(\alpha, \alpha)^{16}\text{O}(\text{g. s.}, 3^-)$ И $^{15}\text{N}(\alpha, t)^{16}\text{O}(\text{g. s.}, 3^-)$

Дифференциальные сечения  $\alpha$ -рассеяния и  $(\alpha, t)$ -реакции рассчитаны нами для прямых механизмов срыва протона (рис. 1а) и передачи тяжелого кластера  $^{12}\text{C}(L_C)$  (рис. 1б, в) по коду FRESKO [6]. Результаты обнаружили значительную чувствительность сечений к параметрам расчета. Сильная зависимость результатов расчета от параметров мнимой части оптического потенциала (ОП) в задней полусфере требует координации выбора СА при расчете вклада механизма передачи кластера  $^{12}\text{C}$ , который существенен именно в области больших углов.

Все используемые параметры: параметры ОП, коэффициенты связи между уровнями в МСК, СА в вершинах распадов — были одинаковыми в обеих реакциях.

#### 3.1. Выбор параметров оптических потенциалов

ОП выбирались в форме Вудса–Саксона с параметрами, рассчитанными по формулам глобальных оптических потенциалов [11], или полученными

в [5]. Используемые в расчетах значения вместе с геометрическими параметрами потенциалов связанных состояний во всех вершинах распада приведены в табл. 2.

#### 3.2. Коэффициенты связи каналов для кулоновского и ядерного потенциалов

Наличие интенсивного электромагнитного  $E3$ -перехода между уровнями  $^{16}\text{O}(\text{g. s.})$  и  $^{16}\text{O}(3^-)$  обосновывает введение сильной связи между этими состояниями. Нами выбран реализованный во FRESKO вариант задания связи непосредственно из экспериментальной интенсивности  $E3$ -перехода  $B(E3) = (205 \pm 11) e^2 \text{Фм}^6$  [12]. Соответствующий коэффициент связи  $STR_C$  для кулоновского потенциала определялся соотношением

$$STR_C = \sqrt{(2J_B + 1)B(E3; 3^- \rightarrow 0_{\text{g.s.}}^+)} = 37.6 e \text{Фм}^3.$$

Для ядерной части потенциала коэффициент связи варьировался на уровне 10% от  $STR_C$  и при оптимальном согласии с экспериментом составил  $STR_{\text{nucl}} = 2.5 e \text{Фм}^3$ .

#### 3.3. Выбор спектроскопических амплитуд для прямых механизмов

При расчетах сечений прямых механизмов передачи необходимыми параметрами являются СА.

**Таблица 1.** Спектроскопические амплитуды в вершинах распада ядер  $^{15}\text{N}(1/2^-)$ ,  $^{16}\text{O}(\text{g. s.}, 3^-)$ , полученные в оболочечной модели ( $CA_{\text{об}}$ ) и использованные в расчетах ( $CA_{\text{исп}}$ )

Механизм срыва протона					
Вершины распада	$J_B$	$\Lambda$	$I$	$CA_{\text{об}}$	$CA_{\text{исп}}$
$^{16}\text{O}(J_B) \rightarrow ^{15}\text{N} + p$	0	0	1/2	1.1	1.1
	3	2	5/2	-0.4	-0.8
Механизм передачи кластера $^{12}\text{C}$					
	$L_C$	$\Lambda$	$I$	$CA_{\text{об}}$	$CA_{\text{исп}}$
$^{15}\text{N}(\text{g. s.}) \rightarrow t + ^{12}\text{C}(L_C)$	0	1	1/2	0.7	0.7
	2	1	3/2	1.7	1.7
		3	5/2	1.1	1.1
	4	3	7/2	2.8	2.8
$^{16}\text{O}(\text{g. s.}) \rightarrow \alpha + ^{12}\text{C}(L_C)$	0	0	0	0.6	0.8
	2	2	2	1.1	1.2
	4	4	4	1.6	0.95
$^{16}\text{O}(3^-) \rightarrow \alpha + ^{12}\text{C}(L_C)$	0	3	3	0.2	0.4
	2	1	1	0.2	0.4
		3	3	0.5	1.0
	4	1	1	0.1	0.2
		3	3	0.4	0.8
		5	3	0.6	1.2

**Таблица 2.** Параметры оптических потенциалов с объемным и поверхностным (\*\*) поглощением, использованные в настоящей работе

Канал	$V, \text{МэВ}$	$r_V, \text{Фм}$	$a_V, \text{Фм}$	$W, \text{Фм}$	$r_W, \text{Фм}$	$a_W, \text{Фм}$	$r_C, \text{Фм}$	Литература
$\alpha + ^{16}\text{O}$	148.72	1.145	0.760	14.76	1.76	0.6	1.436	[11]
$\alpha + ^{12}\text{C}$	146.481	1.13	0.76	13.288	1.255	0.6	1.25	[11]
$\alpha + ^{15}\text{N}$	187.4	1.268	0.625	28.76	1.539	0.145	1.3	[5]
$t + ^{16}\text{O}$	130.0	1.07	0.79	11.17**	1.67	0.72	1.3	[5]
$^{16}\text{O} = \alpha + ^{12}\text{C}$		$R = 4.46^*$	0.65					
$^{16}\text{O} = p + ^{15}\text{N}$		1.25	0.65					
$^{15}\text{N} = t + ^{12}\text{C}$		1.25	0.65					

\*  $R = r(A_\alpha^{1/3} + A_{^{12}\text{C}}^{1/3})$ .

Первоначально мы использовали значения  $CA$ , рассчитанные в модели оболочек (разд. 2) и приведенные в табл. 1 в столбце  $CA_{\text{об}}$ . Эти значения не варьировались для вершин распада  $\alpha$ -частицы и

ядра  $^{15}\text{N}$ .  $CA$  для вершин распада ядра  $^{16}\text{O}$  в обоих состояниях менялись.

$CA$  характеризует вероятность распада ядра в данной вершине. Вероятность отделения протона

из возбужденного состояния  $^{16}\text{O}(3^-)$  из физических соображений не должна быть значительно меньше его отделения из основного состояния в силу меньшей энергии связи протона. Поэтому значение  $SA_{об}$  в распаде  $^{16}\text{O}(3^-) = p + ^{15}\text{N}$  было увеличено вдвое до  $SA_{исп} = -0.8$ .

Необходимые СА для механизма передачи кластера  $^{12}\text{C}$  в вершинах распада ядра  $^{16}\text{O}(g. s.) = \alpha + ^{12}\text{C}(L_C)$ , найденные в соответствии с (2), но с ВФ  $^{12}\text{C}(L_C)$  в полумикроскопической кластерной модели, взяты из [1]. Отметим, что для  $L_C = 0$  и 2  $SA_{об}$  совпадают с СА [1] с достаточно хорошей точностью  $\sim 15\%$ , а для  $L_C = 4$  — расходятся.

Подобная информация о распадах  $^{16}\text{O}(3^-) = \alpha + ^{12}\text{C}(L_C)$  в литературе отсутствует. При подборе значений СА для вершины распада ядра  $^{16}\text{O}(3^-) = \alpha + ^{12}\text{C}(L_C)$  учитывалось, что вклад механизма передачи кластера  $^{12}\text{C}(L_C = 4)$  максимален в области больших углов, поскольку это накладывает ограничения на величину соответствующей СА. В результате  $SA_{об}$  в распадах  $^{16}\text{O}(3^-) = \alpha + ^{12}\text{C}(L_C)$ , аналогично распадам  $^{16}\text{O}(3^-) = p + ^{15}\text{N}$ , также были увеличены вдвое. Используемые значения СА приведены в табл. 1 (столбец  $SA_{исп}$ ).

### 3.4. Вклад механизма составного ядра

Вклад механизма СЯ в реакциях  $^{16}\text{O}(\alpha, \alpha)^{16}\text{O}(g. s., 3^-)$  и  $^{15}\text{N}(\alpha, t)^{16}\text{O}(g. s., 3^-)$  определялся с помощью кода TALYS [7] в модели Хаузера—Фешбаха [13].

Расчетная величина сечения СЯ зависит от выбора параметров ОП в различных каналах распада, плотности уровней в непрерывных спектрах каналов и параметров ОП взаимодействия  $\alpha$ -частицы с ядром. Поскольку выбор перечисленных параметров не является однозначным, в расчетах по коду TALYS [7] мы использовали их значения, предлагаемые “по умолчанию”: параметры ОП для разных энергий и частиц определялись по формулам глобальных потенциалов, для плотности уровней в непрерывном спектре использовалась модель Гильберта—Камерона [14],  $\alpha$ - $^{16}\text{O}$  и  $\alpha$ - $^{15}\text{N}$  потенциалы взяты из [15].

Расчитанные сечения СЯ нормировались так, чтобы они не превышали экспериментальные для обоих уровней  $^{16}\text{O}$  во всем угловом диапазоне. Нормировки составили 0.2 и 0.3 для  $^{16}\text{O}(\alpha, \alpha)^{16}\text{O}(g. s., 3^-)$  и  $^{15}\text{N}(\alpha, t)^{16}\text{O}(g. s., 3^-)$  соответственно.

## 4. СОПОСТАВЛЕНИЕ ЭКСПЕРИМЕНТАЛЬНЫХ И РАССЧИТАННЫХ ДИФФЕРЕНЦИАЛЬНЫХ СЕЧЕНИЙ РЕАКЦИЙ $^{16}\text{O}(\alpha, \alpha)^{16}\text{O}(g. s., 3^-)$ И $^{15}\text{N}(\alpha, t)^{16}\text{O}(g. s., 3^-)$

В эксперименте вследствие близости энергии состояний  $3^-$  (6.13 МэВ) и  $0_1^+$  (6.05 МэВ) дифференциальное сечение с образованием этих состояний не разделено. Из работ [16, 17], выполненных в области энергии 13–22 МэВ, известно, что сечение возбуждения состояния  $0_1^+$  (6.052 МэВ) почти на порядок меньше сечения возбуждения состояния  $3^-$  (6.131 МэВ), причем это различие увеличивается с ростом энергии.

Проведенные нами оценочные расчеты подтвердили такое различие сечений образования ядра  $^{16}\text{O}$  в состояниях  $0_1^+$  (6.05 МэВ) и  $3^-$  (6.13 МэВ). Это связано с отсутствием механизмов прямого монополюсного возбуждения состояния  $0_1^+$  (6.05 МэВ) в неупругом  $(\alpha, \alpha)$ -рассеянии (возможны только механизм СЯ и передача кластера  $^{12}\text{C}(L_C)$ ). В результате сечение возбуждения этой пары состояний исчерпывается возбуждением состояния  $3^-$  (6.131 МэВ), а вкладом сечения с образованием ядра  $^{16}\text{O}$  в состоянии  $0_1^+$  (6.05 МэВ) в экспериментальное сечение реакций  $^{16}\text{O}(\alpha, \alpha)^{16}\text{O}(3^-)$  и  $^{15}\text{N}(\alpha, t)^{16}\text{O}(3^-)$  можно пренебречь.

На рис. 2 показаны рассчитанное дифференциальное сечение рассеяния  $\alpha$ - $^{16}\text{O}$  и парциальные сечения каждого из рассмотренных нами механизмов. Экспериментальное сечение [4] упругого и неупругого рассеяния в передней области углов описывается МСК, что соответствует  $4\alpha$ -тетраэдной конфигурации ВФ ядра  $^{16}\text{O}$ , подтверждающей связь между состояниями  $0_{g. s.}^+ \leftrightarrow 3^-$ . В упругом рассеянии (рис. 2а) полное сечение описывается в МСК, а сечения механизмов передачи кластера  $^{12}\text{C}$  и СЯ незначительны. В неупругом рассеянии с образованием  $^{16}\text{O}(3^-)$  при  $\theta_\alpha > 90^\circ$  сечения МСК и механизма передачи кластера  $^{12}\text{C}$  (рис. 2б) сопоставимы, т.е. наряду с  $4\alpha$ -конфигурацией ВФ проявляется и  $\alpha + ^{12}\text{C}$  конфигурация. Полное сечение, полученное суммированием сечений обоих прямых механизмов и механизма СЯ, согласуется с экспериментом за исключением области средних углов.

На рис. 3 показано рассчитанное дифференциальное сечение реакции  $^{15}\text{N}(\alpha, t)^{16}\text{O}(g. s., 3^-)$ . Показаны сечения механизмов срыва протона, передачи тяжелого кластера  $^{12}\text{C}$ , суммарное сечение прямых механизмов при когерентном сложении их

амплитуд и механизма СЯ. Полное дифференциальное сечение определяется суммированием сечений прямых механизмов и СЯ. Как видно из рисунка, все механизмы играют в рассматриваемой реакции значительную роль, зависящую от угла вылета тритона. В передней полусфере для этих реакций с образованием  $^{16}\text{O}$  и в основном, и в  $3^-$ -состояниях доминирует механизм срыва протона. Механизм передачи кластера  $^{12}\text{C}(L_C)$  играет заметную роль при больших углах для обеих реакций, но особенно ярко проявляется в реакции с образованием  $^{16}\text{O}(g. s.)$ .

Полное дифференциальное сечение реакции  $^{15}\text{N}(\alpha, t)^{16}\text{O}(3^-)$  согласуется с экспериментальным при всех углах  $\theta_t$ , за исключением  $\theta_t > 160^\circ$ .

## 5. ЗАКЛЮЧЕНИЕ

Проведенное исследование ВФ ядра  $^{16}\text{O}$  в основном и  $3^-(6.13 \text{ МэВ})$  состояниях, основанное на анализе дифференциальных сечений реакций  $^{16}\text{O}(\alpha, \alpha)^{16}\text{O}(g. s., 3^-)$  и  $^{15}\text{N}(\alpha, t)^{16}\text{O}(g. s., 3^-)$ , подтверждает наличие в них оболочечных и  $\alpha$ -кластерных конфигураций. Оболочечные конфигурации реализованы в механизме срыва протона для  $(\alpha, t)$ -реакции и механизме образования и распада СЯ. Механизмом, чувствительным к наличию  $\alpha + ^{12}\text{C}$  конфигурации, является обмен тяжелым кластером  $^{12}\text{C}$ . Интенсивный  $E3$ -переход между основным и  $3^-$ -состояниями в ядре  $^{16}\text{O}$  связывается, в соответствии с  $4\alpha$ -тетраэдной моделью  $^{16}\text{O}$ , с принадлежностью этих состояний к одной "вращательной" полосе, что обосновывает использование формализма МСК.

Сечение  $(\alpha, \alpha)$ -рассеяния определяется когерентным суммированием амплитуд МСК ( $4\alpha$ -конфигурация) и механизма передачи кластера  $^{12}\text{C}$  ( $\alpha + ^{12}\text{C}$  конфигурация) и согласуется с экспериментом, за исключением области средних углов. Вкладом механизма СЯ в упругом канале можно пренебречь, в неупругом канале механизм СЯ заметен только в задней полусфере углов.

Сечение  $(\alpha, t)$ -реакции определяется когерентным вкладом механизмов срыва протона (оболочечная конфигурация) и передачи кластера  $^{12}\text{C}$  ( $\alpha + ^{12}\text{C}$  конфигурация) и согласуется с экспериментальным, за исключением углов, больших  $160^\circ$ .

Каждый из рассмотренных механизмов обусловлен конкретной конфигурацией волновых функций ядра  $^{16}\text{O}(g. s., 3^-)$  и его учет позволяет улучшить согласие экспериментальных и расчетных дифференциальных сечений  $(\alpha, \alpha)$ - и  $(\alpha, t)$ -реакций.

Из анализа вклада отдельных механизмов в расчетные дифференциальные сечения  $(\alpha, \alpha)$ - и

$(\alpha, t)$ -реакций можно сделать вывод, что ВФ ядра  $^{16}\text{O}$  в основном состоянии преимущественно определяется  $4\alpha$ -тетраэдной и оболочечной конфигурациями, что соответствует [1, 2]. Добавление к этим компонентам ВФ  $\alpha + ^{12}\text{C}$  конфигурации компоненты  $L_C = 4$  характерно для возбужденного состояния  $3^-$  ядра  $^{16}\text{O}$ .

## СПИСОК ЛИТЕРАТУРЫ

1. T. Yamata, Y. Funaki, T. Myo, H. Horiuchi, K. Ikeda, G. Röpke, P. Schuck, and A. Tohsaki, Phys. Rev. C **85**, 034315 (2012).
2. Y. Kanada-En'yo, Phys. Rev. C **96**, 034306 (2017).
3. A. Volya and Y. M. Tchuvil'sky, Phys. Rev. C **91**, 044319 (2015).
4. А. В. Игнатенко, В. М. Лебедев, Н. В. Орлова, А. В. Спасский, ЯФ **59**, 597 (1996) [Phys. At. Nucl. **59**, 565 (1996)].
5. А. В. Игнатенко, В. М. Лебедев, Н. В. Орлова, А. В. Спасский, В. О. Кордюкевич, ЯФ **61**, 5 (1998) [Phys. At. Nucl. **61**, 1 (1998)].
6. I. J. Tompson, Comp. Phys. Rep. **7**, 167 (1988); <http://www.fresko.org.uk/>
7. A. J. Koning, S. Hilaire, and M. C. Duijvestijn, AIP Conf. Proc. **769**, 1154 (2005); [https://tendl.web.psi.ch/tendl\\_2019/talys.html](https://tendl.web.psi.ch/tendl_2019/talys.html)
8. Н. С. Зеленская, И. Б. Теплов, *Характеристики возбужденных состояний ядер и угловые корреляции в ядерных реакциях* (Энергоатомиздат, Москва, 1995).
9. В. Г. Неудачин, Ю. Ф. Смирнов, *Нуклонные ассоциации в легких ядрах* (Наука, Москва, 1969).
10. А. Н. Бояркина, *Структура ядер 1p-оболочки* (Изд-во МГУ, Москва, 1978).
11. A. Kumar, S. Kailas, S. Rathi, and K. Mahata, Nucl. Phys. A **776**, 105 (2006); <https://www-nds.iaea.org/RIPL-2/optical/om-data/om-alpha.readme>
12. Y. Suzuki, Prog. Theor. Phys. **56**, 111 (1976).
13. W. Hauser and H. Feschbach, Phys. Rev. **87**, 366 (1952).
14. A. Gilbert and A. G. W. Cameron, Can. J. Phys. **43**, 1446 (1965).
15. V. Avrigeanu, M. Avrigeanu, and C. Măniăescu, Phys. Rev. C **90**, 044612 (2014).
16. G. Caskey, Phys. Rev. C **31**, 717 (1985).
17. J. H. Billen, Phys. Rev. C **20**, 1648 (1979).

**MANIFESTATION OF THE  $^{16}\text{O}(\text{g. s.}; 3^-, 6.13 \text{ MeV})$  NUCLEUS WAVE FUNCTIONS STRUCTURE IN  $^{16}\text{O}(\alpha, \alpha)^{16}\text{O}$  AND  $^{15}\text{N}(\alpha, t)^{16}\text{O}$  REACTIONS****L. I. Galanina<sup>1)</sup>, N. S. Zelenskaya<sup>1)</sup>, V. M. Lebedev<sup>1)</sup>, N. V. Orlova<sup>1)</sup>, A. V. Spassky<sup>1)</sup>**<sup>1)</sup>*Lomonosov Moscow State University, Skobeltsyn Institute of Nuclear Physics, Moscow, Russia*

The structure of the  $^{16}\text{O}(\text{g. s.}, 3^-)$  nucleus wave functions was studied using experimental angular distributions of the differential cross sections for the reactions  $^{16}\text{O}(\text{g. s.})(\alpha, \alpha)^{16}\text{O}(\text{g. s.}, 3^-)$  and  $^{15}\text{N}(\alpha, t)^{16}\text{O}(\text{g. s.}, 3^-)$  at  $E_\alpha = 30.3 \text{ MeV}$ . The analysis was carried out within the framework of the coupled-channel method, taking into account direct mechanisms (proton stripping and transfer of a heavy  $^{12}\text{C}$  cluster) and in the compound nucleus model. Each of the considered mechanisms is due to a specific configuration of the wave function of the  $^{16}\text{O}$  nucleus and makes a significant contribution to the experimental cross section.